

# Um Detector de Falhas Assíncrono para Redes Móveis e Auto-Organizáveis\*

Pierre Sens<sup>1</sup>, Fabíola Greve<sup>2</sup>, Luciana Arantes<sup>1</sup>,  
Mathieu Bouillaguet<sup>1</sup>, Véronique Simon<sup>1</sup>

<sup>1</sup>LIP6 - Université Paris 6 - INRIA  
4, Place Jussieu 75252 Paris Cedex 05, França

<sup>2</sup>Departamento de Ciência da Computação / Universidade Federal da Bahia  
40170-110, Campus de Ondina, Salvador - Bahia, Brazil

{pierre.sens,luciana.arantes,mathieu.bouillaguet,veronique.simon}@lip6.fr,fabiola@dcc.ufba.br

**Abstract.** *We consider the problem of failure detection in dynamic networks such as MANETs. This paper presents an asynchronous implementation of a failure detector for unknown and mobile networks. Our approach does not rely on timers and neither the composition nor the number of nodes in the system are known. The proposed algorithm can implement failure detectors of class  $\diamond S$  when behavioral properties and connectivity conditions are satisfied by the underlying system. Simulation experiments have validated our approach.*

**Resumo.** *Detectores de falhas são serviços fundamentais para o projeto de aplicações tolerantes a falhas. Grande parte dos detectores têm como base uma rede estática, cujo grafo de comunicação entre os nós é completo e o conjunto de participantes do sistema é conhecido. Além disso, quase todos eles baseiam-se no uso de temporizadores para a detecção. Tais requisitos revelam-se inadequadas para sistemas auto-organizáveis, já que a composição do sistema é mutável e o seu grafo de comunicação é dinâmico. Este trabalho apresenta uma implementação assíncrona de um detector de falhas não-confiável para redes onde a composição do sistema é desconhecida e cujos nós são móveis, a exemplo das redes MANETs. O algoritmo proposto implementa detectores da classe  $\diamond S$ , caso o sistema satisfaça algumas propriedades comportamentais e de conectividade. O algoritmo foi implementado e resultados de simulação são apresentados como forma de validar a abordagem apresentada.*

## 1. Introdução

A computação distribuída moderna vem rapidamente evoluindo para integrar sistemas dinâmicos e auto-organizáveis, característicos das redes P2P não-estruturadas, redes de sensores sem fio e redes móveis auto-organizáveis (MANETs). Entretanto, o desenvolvimento de serviços confiáveis nesse novo contexto apresenta vários desafios. Tais redes são altamente dinâmicas e os nós podem mover-se, entrar ou sair das mesmas a qualquer momento, eliminando-se a existência de uma infra-estrutura estática e de um controle centralizado. Por fim, devido à escassez de recursos, falhas são bastante frequentes.

---

\*Trabalho com apoio do programa CAPES-COFECUB. Fabíola tem apoio do CNPQ, Brasil.

Um detector de falhas é um serviço fundamental para o desenvolvimento de sistemas tolerantes a falhas. Sua importância foi evidenciada por Chandra e Toueg [Chandra and Toueg 1996] quando propuseram a abstração de *detectores de falhas não-confiáveis* como uma forma de solucionar o problema do consenso num ambiente assíncrono [Fischer et al. 1985]. Um detector de falhas não-confiável (ou simplesmente, FD) é um oráculo distribuído que periodicamente provê uma lista de processos suspeitos de terem falhado. Neste artigo, estamos interessados em FD da classe  $\diamond S$ . Esta classe apresenta as condições de sincronia minimais para a resolução do consenso de forma determinista, dado que existe uma maioria de processos corretos no sistema.

Nosso interesse está em desenvolver detectores para redes móveis e de composição desconhecida, tais como as redes móveis auto-organizáveis (MANETs). Este tipo de rede apresenta as seguintes propriedades: (1) um nó não conhece todos os participantes do sistema; ele apenas pode enviar mensagens para seus vizinhos, i.e., aqueles que estão no seu alcance de transmissão; (2) o tempo de transmissão entre os nós é altamente variável e imprevisível; (3) a rede não é totalmente conectada, o que significa que uma mensagem enviada por um nó precisa ser roteada através de um conjunto de nós intermediários até atingir o nó destino; (4) um nó pode mover-se e mudar o seu alcance de transmissão.

Grande parte das implementações para detectores de falhas são baseadas numa comunicação do tipo todos-para-todos, onde os nós monitoram a vivacidade de todos os nós da rede através da troca de mensagens do tipo “eu estou vivo” [Larrea et al. 2000, Sotoma and Madeira 2001]. Dado que tais propostas baseiam-se no fato de que o conjunto de nós conhecem-se mutuamente e estão totalmente conectados, estas não são adequadas para sistemas dinâmicos. Alguns trabalhos foram propostos para lidar com algum dinamismo e crescimento incremental das redes [Larrea et al. 2000, Gupta et al. 2001, Bertier et al. 2003]. Porém, poucos deles toleram mobilidade [Friedman and Tcharny 2005, Tai et al. 2004]. Além disso, todas essas propostas tomam como base o uso de temporizadores para a detecção da falha, pois, considera-se que, em algum momento do futuro, o sistema irá obedecer um limite para a comunicação entre os nós de forma permanente. De novo, tal hipótese não é realista para uma rede dinâmica em que há, sobretudo, movimentação dos nós. Em [Mostefaoui et al. 2003], Mostefaoui *et al.* propuseram uma implementação assíncrona de FD, cuja detecção fundamenta-se apenas no padrão de troca de mensagens e no conhecimento da quantidade de falhas ( $f$ ) e do número de nós no sistema ( $n$ ). Entretanto, seu modelo consiste numa rede estática onde os nós são totalmente conectados.

Este artigo apresenta um novo algoritmo assíncrono de detecção de falhas para sistemas dinâmicos de redes móveis e desconhecidas. Ele não se fundamenta no uso de temporizadores e não requer nenhum conhecimento a respeito da composição do sistema nem de sua cardinalidade. Além disso, tem características interessantes que permitem seu uso em larga escala. O processo de detecção das falhas é feito apenas com base na percepção local que um nó tem do estado da rede e não na troca de informações globais.

O princípio básico de nosso FD é a inundação de informações de suspeita de falhas na rede. Inicialmente, cada nó apenas conhece a si próprio. Depois, periodicamente, ele troca com os seus vizinhos um par de mensagens do tipo QUERY-RESPONSE. Assim, com base apenas na recepção dessas mensagens e no conhecimento parcial que o nó tem da composição do sistema (i.e., sua vizinhança), um nó é capaz de suspeitar de outros processos ou de revogar as informações de suspeita infundadas. Tais informações são

encaminhadas através das próprias mensagens de QUERY e poderão atingir toda a rede, se o sistema atende a certas condições de conectividade, caracterizadas pela propriedade de *rede com f-cobertura*. Esta garante que existe sempre um caminho entre quaisquer dois nós ativos da rede, apesar da ocorrência de  $f$  falhas ( $f < n$ ).

O detector proposto ainda implementa as propriedades da classe  $\diamond S$ , caso os nós da rede apresentem certas propriedades comportamentais. Quatro propriedades foram definidas. A *propriedade de inclusão* permite que o nó possa ser reconhecido pelos demais; para tanto, ele deve ter interagido e enviado pelo menos uma mensagem na rede. A *propriedade de mobilidade* estabelece que um nó móvel deve se reconectar à rede por um período de tempo suficiente para atualizar o seu estado quanto à suspeita de falhas e correções de suspeitas equivocadas. A *propriedade de receptividade* determina que, após um tempo, a comunicação entre um determinado nó e os demais nós da sua vizinhança serão mais rápidas do que quaisquer outras comunicações na sua vizinhança. Finalmente, a *propriedade de receptividade para mobilidade* determina que ao menos um nó correto satisfaz a propriedade de receptividade e, além disso, após um tempo, sua vizinhança será composta por nós que não saem da sua área de cobertura.

O resto do artigo está organizado da seguinte maneira. A seção 2 especifica o modelo computacional e os detectores de falhas. A seção 3 apresenta o nosso FD assíncrono, considerando-se inicialmente que os nós não se movimentam na rede. Na seção 4, o algoritmo é estendido para suportar mobilidade. Resultados de simulação do seu desempenho são apresentados na seção 5 e uma comparação com trabalhos relacionados é feita em 6. Finalmente, a seção 7 conclui o trabalho.

## 2. Modelo de Sistema

Consideramos um sistema distribuído dinâmico formado por um conjunto finito de  $n > 1$  nós móveis,  $\Pi = \{p_1, \dots, p_n\}$ . Ao contrário de uma rede clássica, num sistema dinâmico de *redes desconhecidas*, os processos<sup>1</sup> não conhecem  $\Pi$  nem a cardinalidade  $n$  do sistema. Ou seja, um processo  $p_i$  conhece apenas um subconjunto de  $\Pi$ . Nós se comunicam pela emissão e recepção de mensagens através de uma rede sem fio, por rádio frequência. Nenhuma hipótese temporal é feita com respeito à realização das ações efetuadas pelos nós ou pelos canais, ou seja, o sistema é *assíncrono*. Um processo pode falhar por parada (*crash*). Um processo *correto* não falha durante a execução do sistema; senão ele é considerado *falho*. Seja  $f$  o número máximo de processos autorizados a falhar do sistema ( $f < n$ ), então  $f$  é conhecido por todos os nós. Para simplificar, consideramos o intervalo  $\mathcal{T}$  de pulsos de relógio como sendo o conjunto de número naturais. Nós não têm acesso a  $\mathcal{T}$ : ele é introduzido apenas por uma questão de conveniência da apresentação.

O sistema pode ser representado por um grafo de comunicação  $G(V, E)$  no qual  $V \subseteq \Pi$  representa o conjunto de nós e  $E$ , o conjunto de ligações. Assim,  $(p_i, p_j) \in E$  se e somente se estes pertencem à mesma área de cobertura de difusão, aqui denotada por *range*. Neste caso,  $p_i$  e  $p_j$  são considerados *vizinhos (1-hop)*. A topologia de  $G$  é dinâmica. A comunicação entre dois vizinhos é feita através da emissão de mensagens, seja por difusão (*broadcast*) ou diretamente (*ponto à ponto*). Os canais são confiáveis e bidirecionais; eles não alteram, não criam, nem perdem mensagens. Assim, uma mensagem  $m$  enviada por  $p_i$  através de difusão é recebida por todos os vizinhos corretos de  $p_i$ .

<sup>1</sup>Os termos “processo” e “nó” serão usados indistintamente neste trabalho.

Numa rede sem fio, esta hipótese consiste em considerar uma camada MAC de broadcast confiável (reliable MAC broadcast [Tang and Gerla 2001]).

Quando um nó se move, consideramos que ele deixa de fazer parte de  $G$ . Posteriormente, quando ele pára de se movimentar reconectando-se à rede, ele é reintegrado a  $G$ . Desta forma, considera-se *nó móvel* aquele que se encontra fora de  $G$ , enquanto que um *nó estático* está conectado a  $G$ . Um nó pode continuamente se movimentar e se reconectar ou terminar por falhar. Entretanto, um nó correto irá sempre se reconectar à rede em algum momento. Seja  $p_m$  um nó móvel. Considera-se que  $p_m$  não tem conhecimento da sua mobilidade; assim, ele não pode notificar os seus vizinhos acerca do seu movimento. Desta forma, não é possível distinguir entre o movimento de  $p_m$  e a sua falha. Enquanto  $p_m$  se move, ele guarda os valores de suas variáveis.

**Definição 1. Área de cobertura de difusão (*range*):** Numa rede representada por  $G(V, E)$ ,  $range_i$  inclui  $p_i$  e o conjunto de seus vizinhos. Neste caso,  $|range_i|$  equivale ao grau de  $p_i$  em  $G$  mais 1. Observe que ranges são simétricos, i.e.,  $p_i \in range_j \Rightarrow p_j \in range_i$

**Definição 2. Densidade da área de cobertura (*range density*):** Numa rede representada por  $G(V, E)$ , a densidade da área de cobertura, denotada por  $d$ , é igual ao tamanho do menor range da rede:

$$d \stackrel{def}{=} \min(|range_i|), \forall p_i \in \Pi$$

Consideramos que  $d$  é conhecido por todos os processos.

**Definição 3. Rede com f-cobertura (*f-covering network*):** Uma rede representada por  $G(V, E)$  tem  $f$ -cobertura se e somente se  $G$  é  $(f + 1)$ -fortemente conexo.

Pelo teorema de Menger [Yellen and Gross 1998], um grafo  $G$  é  $(f + 1)$ -fortemente conexo se e somente se ele contiver  $f + 1$  caminhos independentes entre quaisquer dois nós  $p_i$  e  $p_j$ . Desta forma, removendo  $f$  nós de  $G$  ainda restará ao menos um caminho entre quaisquer dois nós. Além disso, a densidade da área de cobertura  $d$  da rede será sempre superior a  $f + 1$ ,  $d > f + 1$ , o que nos leva à seguinte observação.

**Observação 1.** Seja  $G(V, E)$  uma rede com  $f$ -cobertura, então existe um caminho entre quaisquer dois nós em  $G$ , apesar de  $f < n$  falhas.

## 2.1. Detector de Falhas

Informalmente, um detector de falhas é um conjunto de “oráculos” que fornece dicas aos processos sobre quais deles estão falhos. O detector é não confiável porque ele pode se equivocar. Ou seja, tanto suspeitar da falha de processos corretos, quanto considerar que processos faltosos são corretos. A cada processo é associado um módulo de detecção, que fornece informações de falhas através de uma lista de processos. Um detector pode continuamente adicionar e remover processos de sua lista de suspeitos.

Formalmente, Chandra e Toueg caracterizam um detector de falhas por duas propriedades: *completude* e *exatidão* [Chandra and Toueg 1996]. A *completude* assegura que processos faltosos terminarão por serem suspeitos enquanto que a *exatidão* restringe os equívocos que podem ser cometidos pelo detector. A combinação de tais propriedades

dão origem a várias classes de detectores. Neste trabalho, nos concentramos na classe de *detectores de falhas forte após um tempo* (conhecido como  $\diamond S$ ). Esta garante que todo processo falho será finalmente suspeito por todos processos corretos (*completude forte*); além disto, existirá um instante a partir do qual algum processo correto não será considerado suspeito por nenhum outro processo correto (*exatidão fraca após um tempo*).

### 3. Detector de Falhas Assíncrono da Classe $\diamond S$

Esta seção descreve nosso algoritmo de detecção de falhas assíncrono. Para facilitar a apresentação, consideramos inicialmente que os nós não se movem e posteriormente, na seção 4, propomos uma extensão do algoritmo para suportar mobilidade.

#### 3.1. O Mecanismo de Pergunta-Resposta (Query-Response)

O princípio básico de nosso algoritmo consiste na inundação na rede através de um mecanismo de *query-response* (pergunta-resposta) com informações sobre suspeitas de falhas de nós. O algoritmo se executa por rodadas. A cada nova rodada, caso não falhe, um nó envia a seus vizinhos uma mensagem QUERY. O intervalo de tempo entre duas rodadas consecutivas é finito mas arbitrário. Uma mensagem QUERY inclui dois tipos de informação: o conjunto de nós que são atualmente suspeitos de terem falho (*suspected*) e o conjunto de equívocos (*mistake*), ou seja, de nós erroneamente suspeitos de falhar nas rodadas precedentes. Cada nó possui um contador atualizado a cada rodada. Assim, toda nova informação sobre suspeita de falha ou equívoco é etiquetada com o valor corrente do contador deste nó. Tal mecanismo de etiquetagem evita que informações não atualizadas sejam consideradas válidas por outros nós.

Quando o nó  $p_i$  recebe uma mensagem QUERY de um nó da sua vizinhança,  $p_j$  lhe confirma a recepção com uma mensagem RESPONSE. Uma QUERY é então satisfeita por um nó quando este receber pelo menos  $d - f$  mensagens RESPONSE. Observe que cada par de *query-response* é identificado de modo único no sistema<sup>2</sup>. Além disso, consideramos que um nó enviará uma nova pergunta somente depois que a precedente terminar. Evidentemente, um nó recebe a sua própria mensagem QUERY e a sua mensagem RESPONSE é sempre recebida dentre as primeiras  $d - f$  respostas esperadas.

#### 3.2. Propriedades Comportamentais

Definiremos agora duas propriedades comportamentais que asseguram que nossa proposta de implementação satisfaz as propriedades dos detectores da classe  $\diamond S$ .

Com o intuito de implementar um FD não-confiável cujos participantes são desconhecidos, é necessário que eles interajam entre si para se conhecerem. De acordo com Fernández *et al.* [Fernández et al. 2006], se existir um processo no sistema cuja identidade nenhum outro processo conhece, então não existe algoritmo que possa implementar um detector de falhas que satisfaça a propriedade de *completude fraca*, mesmo se os canais forem confiáveis e o sistema síncrono. Consequentemente, para implementar um FD da classe  $\diamond S$ , a seguinte *propriedade de inclusão*, denotada  $\mathcal{MP}$ , precisa ser satisfeita por todos os processos do sistema.

---

<sup>2</sup>Por uma questão de simplificação, esta identificação não aparece no código do algoritmo.

**Propriedade 1. Propriedade de Inclusão (Membership) ( $\mathcal{MP}$ ).** Seja  $t \in \mathcal{T}$ . Denotamos  $known_j^t$  o conjunto de processos dos quais  $p_j$  recebeu uma mensagem QUERY até o instante  $t$ . Seja  $K_i^t$  o conjunto de processos  $p_j$ , que antes ou no instante  $t$ , recebeu uma mensagem QUERY de  $p_i$ . Isto é,  $K_i^t = \{p_j \mid p_i \in known_j^t\}$ . Um processo  $p_i$  satisfaz a propriedade de inclusão se:

$$\mathcal{MP}(p_i) \stackrel{def}{=} \exists t \geq 0 \in \mathcal{T} : |K_i^t| > f + 1$$

Esta propriedade afirma que, para ser membro do sistema, um processo  $p_i$  (correto ou não) precisa interagir pelo menos uma vez com outros processos da sua cobertura ( $range_i$ ), enviando-lhes uma mensagem QUERY por difusão. Além disso, esta mensagem deve ser recebida e figurar no estado de pelo menos um processo correto, além de  $p_i$ .

Dado que nosso detector é assíncrono e não depende de temporizadores, é importante definir a *propriedade de receptividade*, denotada  $\mathcal{RP}$ . Esta expressa a capacidade de um nó em responder entre os primeiros processos a uma pergunta feita.

**Propriedade 2. Propriedade de Receptividade (Responsiveness) ( $\mathcal{RP}$ ).** Seja  $t, u \in \mathcal{T}$ . Denotamos  $rec\_from_j^t$  o conjunto de  $d - f$  processos dos quais  $p_j$  recebeu respostas à mensagem (QUERY) que se terminou antes ou no instante  $t$ . A propriedade  $\mathcal{RP}$  do processo correto  $p_i$  é assim definida:

$$\mathcal{RP}(p_i) \stackrel{def}{=} \exists u \in \mathcal{T} : \forall t > u, \forall p_j \in range_i, p_i \in rec\_from_j^t$$

Intuitivamente, a propriedade  $\mathcal{RP}(p_i)$  afirma que depois de um intervalo de tempo finito  $u$ , o conjunto de  $d - f$  respostas recebidas por um vizinho de  $p_i$  à sua última mensagem QUERY sempre inclui a resposta de  $p_i$ .

### 3.3. Implementação de um Detector de Falhas $\diamond S$ para Redes Desconhecidas

O Algoritmo 1 descreve a implementação do nosso detector de falhas da classe  $\diamond S$ . Consideramos que o sistema subjacente é uma rede com  $f$ -cobertura que satisfaz as propriedades comportamentais descritas anteriormente. A seguinte notação é utilizada.

- $counter_i$ : denota o contador de rodadas do processo  $p_i$ .
- $suspected_i$ : denota o conjunto atual de processos suspeitos de serem falhos por  $p_i$ . Cada um de seus elementos é composto por um par  $\langle id, counter \rangle$ , onde  $id$  representa o identificador do nó suspeito e  $counter$ , o valor do contador do processo, quando este gerou a informação de suspeita de falha do nó  $id$ .
- $mistake_i$ : denota o conjunto de nós equivocadamente suspeitos nas rodadas anteriores. Tal qual no conjunto  $suspected_i$ ,  $mistake_i$  também é composto por pares  $\langle id, counter \rangle$ , onde  $counter$  indica a rodada cuja informação sobre a correção do equívoco a respeito da falha de  $id$  foi gerada.
- $rec\_from_i$ : denota o conjunto de nós dos quais  $p_i$  recebeu uma resposta (RESPONSE) à sua última pergunta QUERY.
- $known_i$ : denota o conhecimento atual que o nó  $p_i$  tem de sua vizinhança. Além de nós corretos, ele pode incorporar nós falhos ou móveis.
- $Add(set, \langle id, counter \rangle)$ : função que inclui o par  $\langle id, counter \rangle$  em  $set$ . Se o par  $\langle id, - \rangle$  já existe em  $set$ , ele é substituído por  $\langle id, counter \rangle$ .

O Algoritmo 1 tem duas tarefas. A tarefa  $T1$  é responsável pela geração das suspeitas e possui um laço infinito. A tarefa  $T2$  é responsável pela geração de informações de revogação de suspeitas e pela propagação das informações recentes na rede.

**Algorithm 1** Implementação Assíncrona de um Detector de Falhas

---

```

1: init:
2:  $suspected_i \leftarrow \emptyset; mistake_i \leftarrow \emptyset; counter_i \leftarrow 0$ 
3:  $known_i \leftarrow \emptyset$ 

4: Task T1:
5: repeat forever
6:   broadcast QUERY( $suspected_i, mistake_i$ )
7:   wait until RESPONSE received from at least  $(d - f)$  distinct processes
8:    $rec\_from_i \leftarrow$  the set of distinct nodes from which  $p_i$  has received a response at line 7
9:   for all  $p_j \in known_i \setminus rec\_from_i \mid \langle p_j, - \rangle \notin suspected_i$  do
10:    if  $\langle p_j, counter \rangle \in mistake_i$  then
11:       $counter_i = \max(counter_i, counter + 1)$ 
12:       $mistake_i = mistake_i \setminus \langle p_j, - \rangle$ 
13:    end if
14:    Add( $suspected_i, \langle p_j, counter_i \rangle$ )
15:  end for
16:   $counter_i = counter_i + 1$ 
17: end repeat

18: Task T2:
19: upon reception of QUERY ( $suspected_j, mistake_j$ ) from  $p_j$  do
20:  $known_i \leftarrow known_i \cup \{p_j\}$ 
21: for all  $\langle p_x, counter_x \rangle \in suspected_j$  do
22:   if  $(\langle p_x, - \rangle \notin suspected_i \cup mistake_i)$  or  $(\langle p_x, counter \rangle \in suspected_i \cup mistake_i \mid counter <$ 
    $counter_x)$  then
23:     if  $p_x = p_i$  then
24:        $counter_i = \max(counter_i, counter_x + 1)$ 
25:       Add( $mistake_i, \langle p_i, counter_i \rangle$ )
26:     else
27:       Add( $suspected_i, \langle p_x, counter_x \rangle$ )
28:        $mistake_i = mistake_i \setminus \langle p_x, - \rangle$ 
29:     end if
30:   end if
31: end for
32: for all  $\langle p_x, counter_x \rangle \in mistake_j$  do
33:   if  $(\langle p_x, - \rangle \notin suspected_i \cup mistake_i)$  or  $(\langle p_x, counter \rangle \in suspected_i \cup mistake_i \mid counter <$ 
    $counter_x)$  then
34:     Add( $mistake_i, \langle p_x, counter_x \rangle$ )
35:      $suspected_i = suspected_i \setminus \langle p_x, - \rangle$ 
36:   end if
37: end for
38: send RESPONSE to  $p_j$ 

```

---

Geração de Suspeitas de Falhas. A cada rodada da tarefa T1, uma mensagem QUERY é enviada a todos os nós da área de cobertura de difusão ( $range_i$ ) de  $p_i$  (linha 6). Esta mensagem inclui o conjunto de nós suspeitos atualmente por  $p_i$  ( $suspected_i$ ) e o conjunto de equívocos conhecidos por  $p_i$  ( $mistake_i$ ). O processo  $p_i$  então espera por pelo menos  $d - f$  respostas à sua pergunta, além da sua própria (linha 7).

As linhas 9-15 são responsáveis pela detecção de novas suspeitas de falhas. O processo  $p_j$  será suspeito de falhar por  $p_i$  se: (i)  $p_i$  conhece  $p_j$  ( $p_j \in known_i$ ), (ii)  $p_i$  ainda não suspeitou anteriormente do mesmo ( $p_j \notin suspected_i$ ) e (iii)  $p_i$  não recebeu de  $p_j$  um RESPONSE como resposta à sua última QUERY. Nestas condições, se uma informação de

*mistake* referente a  $p_j$  existe no conjunto  $mistake_i$ , ela será removida (linha 12). Além disso, o contador da rodada  $counter_i$  é atualizado com um valor superior ao contador do *mistake* em questão (linha 11). Finalmente, a nova informação de suspeita é incluída no conjunto  $suspected_i$  com uma etiqueta associada cujo valor é equivalente ao de  $counter_i$  (linha 14). No final da tarefa  $T1$ ,  $counter_i$  é incrementado de uma unidade (linha 16).

**Propagação de Suspeitas e Equívocos.** A tarefa  $T2$  permite a um nó tratar a recepção de mensagens de QUERY enviadas por nós vizinhos. Os dois laços da tarefa tratam respectivamente as informações recebidas referentes a suspeitas de falhas (linhas 21–31) e as referentes a equívocos (linhas 32–37). Para cada nó  $p_x$  existente no conjunto  $suspected_j$  (respectivamente,  $mistake_j$ ) da mensagem QUERY recebida de  $p_j$ ,  $p_i$  inclui  $p_x$  no seu conjunto  $suspected_i$  (respectivamente,  $mistake_i$ ) somente se a seguinte condição é satisfeita:  $p_i$  recebeu uma informação sobre o status (falha ou equívoco) de  $p_x$  que é mais recente do que aquela que ele já possui em seus conjuntos  $suspected_i$  e  $mistake_i$ . Uma informação será mais recente se: (i)  $p_x$  nunca foi suspeito por  $p_i$  ou (ii)  $p_x$  pertence a um dos conjuntos de  $p_i$ , porém com um valor de etiqueta (*counter*) inferior aquele trazido por  $p_j$  ( $counter_x$ ) na sua QUERY (linhas 22 e 33). Neste caso,  $p_i$  remove também o nó  $p_x$  de seu conjunto  $mistake_i$  (respectivamente  $suspected_i$ ) (linhas 28 e 35).

**Correção de Equívocos.** Caso o processo  $p_i$  pertença ao conjunto de suspeitos recebido na mensagem QUERY (linha 23) da tarefa  $T2$ , ele gerará um novo equívoco, ou seja, ele se adiciona em seu conjunto  $mistake_i$  (linha 25) com um valor de contador mais recente do que aquele associado à sua suspeita (linha 24).

No final de  $T2$  (linha 38),  $p_i$  envia ao emissor do QUERY uma mensagem de RESPONSE.

## 4. Extensão do Detector de Falhas para Suportar a Mobilidade dos Nós

Nesta seção, apresentamos uma extensão ao Algoritmo 1 para suporte à mobilidade.

### 4.1. Propriedades Comportamentais para a Mobilidade

Seja  $p_m$  um nó móvel. Durante a execução, ele pode continuamente se deslocar e se reconectar ou terminar por falhar. Entretanto, para que  $p_m$  possa atualizar o seu estado com informações recentes relativas às falhas e equívocos,  $p_m$  precisa se conectar à rede por um período suficiente de tempo para trocar com os demais informações, ou seja, enviar um *query* e receber (d - f) *responses*. Caso contrário, não há garantia que as propriedades de *completude* e *exatidão* do detector possam ser asseguradas. Se o nó move-se continuamente, numa velocidade muito rápida, que não lhe permite conectar-se à rede por esse período suficiente, não há como garantir tais propriedades. Para podermos capturar esta noção de “período suficiente de tempo de conexão”, definimos a seguinte *propriedade de mobilidade*, denotada  $MobiP$ , a ser satisfeita por todos os nós móveis:

**Propriedade 3. Propriedade de Mobilidade ( $MobiP$ ).** *Seja  $t \in \mathcal{T}$ . Seja  $Q_i^t$  o conjunto de processos dos quais  $p_i$  recebeu uma mensagem de QUERY que se terminou antes ou no instante  $t$ . Um processo  $p_i$  satisfaz a propriedade de mobilidade se:*

$$MobiP(p_i) \stackrel{def}{=} \exists t \geq 0 \in \mathcal{T} : |Q_i^t| > f + 1$$

$MobiP(p_m)$  assegura que, depois de ter se reconectado à rede, haverá um tempo no qual  $p_m$  terá recebido QUERY dos nós da sua nova vizinhança e dentre estas, pelo

menos uma foi enviada por um nó correto, diferente de  $p_m$ . Dado que estas mensagens contêm informações sobre falhas e equívocos,  $p_m$  poderá atualizar seu estado.

Consideramos ainda que os nós móveis também satisfazem a *propriedade de inclusão*. Assim,  $\mathcal{MP}(p_m)$  assegura que, depois de se reconectar, haverá um instante a partir do qual  $p_m$  interagirá pelo menos uma vez com outros processos de sua nova vizinhança ( $range_m$ ), enviando-lhes por difusão uma mensagem QUERY que será recebida por pelo menos um processo correto do  $range_m$ , além do próprio  $p_m$ .

Será necessário estender a propriedade  $\mathcal{RP}$  de forma a garantir que existe um instante de tempo a partir do qual os vizinhos de um nó  $p_i$ , que satisfaz  $\mathcal{RP}(p_i)$ , não sairão mais do seu  $range_i$ . Caso contrário, mesmo que  $\mathcal{RP}(p_i)$  seja satisfeita, um nó móvel  $p_m$  poderá adicionar  $p_i$  no seu conjunto  $known_m$ , caso  $p_i \in range_m$ , e posteriormente, poderá suspeitar de  $p_i$ , caso tenha se movimentado e  $p_i$  não faça mais parte da sua vizinhança, ou seja  $p_i \notin range_m$ . Esta extensão, denotada  $Mobi\mathcal{RP}$ , é assim definida:

**Propriedade 4. Propriedade de Receptividade para Mobilidade (Mobility Responsiveness) ( $Mobi\mathcal{RP}$ ).** *Seja  $t \in \mathcal{T}$ . Denotamos  $range_i^t$  o conjunto de processos em  $range_i$  no instante  $t$ . Um processo  $p_i$  satisfaz a propriedade receptividade para mobilidade se:*

$$Mobi\mathcal{RP}(p_i) \stackrel{def}{=} \mathcal{RP}(p_i) : \exists u \in \mathcal{T} : \forall t > u, \forall t' > t, p_j \in range_i^t \Rightarrow p_j \in range_i^{t'}$$

$Mobi\mathcal{RP}$  precisa ser assegurada por pelo menos um nó correto da rede que nunca se move, além da sua área de cobertura. Sobre o sistema subjacente, considera-se que a rede tem  $f$ -cobertura e que a sua densidade  $d$  será preservada, apesar da mobilidade.

#### 4.2. Implementação de um Detector de Falhas da Classe $\diamond S$ para Redes Móveis Desconhecidas

Apresentamos uma extensão ao Algoritmo 1 para suporte à mobilidade. Quando um nó  $p_m$  move-se para um outro  $range$ , ele será suspeito de falhar por aqueles nós de seu antigo  $range$ , visto que ele não responde mais à mensagens QUERY. A informação sobre a suspeita de falha de  $p_m$  será disseminada pela rede através dos QUERY. Quando  $p_m$  se reconectar à rede, ele acabará por receber essas mensagens. Ele corrigirá a falsa suspeita que lhe concerne ao incluir-se no seu conjunto  $mistake_m$ , que por sua vez, será incluído no próximo QUERY que ele enviará e que se propagará pela rede. Por outro lado,  $p_m$  começará a suspeitar dos nós de seu antigo  $range$ , pois estes se encontram em seu conjunto  $known_m$ . Ele então irá incluir estas suspeitas na sua próxima mensagem QUERY. Esta, acabará por ser recebida pelos respectivos nós, que através do mesmo princípio de inclusão da sua identidade no conjunto  $mistake$  irão corrigir o equívoco. Finalmente, os  $mistakes$  correspondentes serão então disseminados pela rede e a suspeita será revogada.

Para evitar um efeito “ping-pong” entre as suspeitas de falhas e revogações das mesmas, um nó deve ser capaz de remover do seu  $known$  aqueles nós que não fazem mais parte de seu  $range$ . Para tanto, as linhas 36–38 do Algoritmo 2 devem ser adicionadas no bloco **if** do segundo laço de  $T2$ , após a linha 35 do Algoritmo 1. Elas possibilitam a atualização de  $known_m$  de  $p_m$ , assim como do  $known$  dos nós de seu antigo  $range$ . Para cada  $mistake \langle p_x, counter_x \rangle$  enviado por  $p_j$  tal que  $p_i$  contém um informação menos atualizada sobre  $p_x$ ,  $p_i$  verifica se  $p_x$  é o nó emissor do  $mistake$  em questão. Em caso negativo ( $p_x \neq p_i$ ),  $p_x$  pode pertencer a um  $range$  distante, tal que  $p_x \notin range_i$ . Consequentemente,  $p_x$  é excluído do conjunto  $known_i$ .

---

**Algorithm 2** Implementação Assíncrona de um Detector de Falhas com Mobilidade
 

---

```

36: if ( $p_x \neq p_j$ ) then
37:    $known_i = known_i \setminus \{p_x\}$ 
38: end if

```

---

### 4.3. Prova de Correção

Apresentamos alguns dos principais argumentos da prova de que os Algoritmos 1 e 2 implementam um detector da classe  $\diamond S$ . A demonstração completa desta corretude pode ser encontrada no relatório técnico [Sens et al. 2007].

**Teorema 1.** *Algoritmos 1 e 2 implementam um detector de falhas da classe  $\diamond S$  numa rede de nós móveis, que apresenta a propriedade de  $f$ -cobertura e que satisfaz as seguintes propriedades comportamentais:  $\mathcal{RP}$ ,  $\mathcal{MP}$ ,  $\text{MobiP}$  e  $\text{MobiRP}$ .*

*Demonstração.* Considere um processo correto  $p_i$  e um processo falho  $p_f$ .

Para satisfazer a propriedade de *completude forte*, devemos provar que eventualmente  $p_f$  será permanentemente incluído no conjunto  $suspected_i$  de  $p_i$ . Esta condição segue principalmente das seguintes constatações:

- (1) Dado que  $p_f$  satisfaz  $\mathcal{MP}(p_f)$ , ele enviou ao menos uma mensagem QUERY e faz parte do conjunto  $known_i$  de pelo menos um processo correto  $p_i$ ;
- (2) Logo, após a sua falha,  $p_f$  não irá emitir mais mensagens de RESPONSE e passará a ser suspeito por  $p_i$ , ou seja  $p_f \in suspected_i$ . Finalmente, essa informação será propagada na rede, dado que a mesma apresenta a propriedade de  $f$ -cobertura.

Para satisfazer a propriedade de *exatidão fraca após um tempo*, devemos provar que haverá um instante de tempo  $u$  após o qual  $p_i$  não pertence a nenhum conjunto  $suspected_j$  de qualquer processo correto  $p_j$ . Esta condição segue principalmente de:

- (1) Dado que existe ao menos um processo correto  $p_i$  que satisfaz  $\text{MobiRP}(p_i)$ , existe um instante de tempo  $t$  após o qual todos os processos corretos  $p_j$  de  $range_i$  recebem o QUERY de  $p_i$  e além disso, nenhum deles se movimenta, além de  $range_i$ . Logo, a partir de  $t$ ,  $p_i \in rec\_from_j$  de qualquer processo correto  $p_j$  e nenhum deles irá suspeitar de  $p_i$ ;
- (2) Além disso, como  $p_i$  é correto, caso ainda existam informações de suspeitas sobre o mesmo após  $t$ , ele acabará por revogar com uma etiqueta (contador) superior, emitindo um QUERY, contendo  $mistake_i$ , que será recebido pelos vizinhos, pois  $\mathcal{RP}(p_i)$ . Finalmente, essa informação será propagada, pois a rede apresenta a propriedade de  $f$ -cobertura. Assim, haverá um tempo  $u \geq t$ , em que  $p_i \notin suspected_j$ , para qualquer  $p_j$  correto.  $\square$

## 5. Implementação e Avaliação de Desempenho do Detector de Falhas

Esta seção apresenta um estudo de avaliação de desempenho da implementação de nosso FD assíncrono. Os resultados obtidos são comparados com os apresentados pelo FD de Friedman e Tcharny [Friedman and Tcharny 2005]. O intuito dessa análise comparativa é fazer um contraponto entre nosso detector assíncrono e um detector baseado em mecanismos de temporização e propagação de mensagens do tipo “eu estou vivo” (*heartbeats*).

**Modelo de Simulação.** Nossos testes de desempenho foram efetuados com o simulador de eventos discretos OMNeT++ [omn]. A área de simulação abrange um retângulo  $R$  de 700mx700m com  $N = 100$  nós. Cada nó tem um raio de alcance de  $r = 100m$  e o tempo de transferência de uma mensagem  $\delta$  entre dois nós vizinhos é em média igual a 1ms.

O tempo de simulação de cada teste foi de 30 minutos. Como nosso detector de falhas necessita de uma rede que satisfaz a  $f$ -cobertura, os  $N$  nós não podem ser distribuídos aleatoriamente no retângulo  $R$ . Antes da execução do teste, a topologia da rede é construída de forma gradual: um “clique” de grafo com  $f + 2$  nós organizados em círculo com raio  $r/2$  é inicialmente inserido em  $R$ ; a cada nova iteração, um novo nó é escolhido aleatoriamente e este é incluído na rede somente se possuir  $f + 1$  vizinhos na configuração corrente. A fase de configuração é concluída quando a rede atinge  $N$  nós.

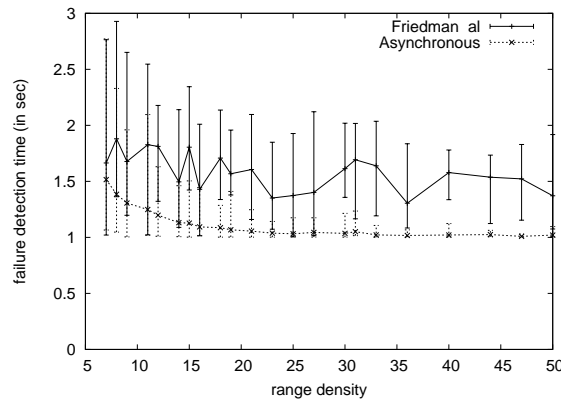
**Detector de falhas proposto por Friedman e Tcharny.** Neste detector, um nó periodicamente envia um mensagem de *heartbeat* a seus vizinhos contendo um vetor de  $N$  elementos que correspondem aos nós da rede. Cada nó  $p$  possui também um vetor local ( $vector_p$ ) cujas  $N$  entradas armazenam o mais alto valor de *heartbeat*, enviado pelo nó correspondente, que  $p$  conhece. A cada  $\Delta$  intervalo de tempo,  $p$  incrementa  $vector_p[p]$  e emite a seus vizinhos o seu *heartbeat* por difusão. Com base nos testes de desempenho descritos pelos autores em [Friedman and Tcharny 2005], fixamos o valor de  $\Delta$  a  $1s$ . Ao receber um *heartbeat*,  $p$  atualiza seu  $vector_p$  com o máximo entre este e o incluído na mensagem. Um nó associa também um *temporizador* a cada nó da rede. Assim,  $p$  inicializa o temporizador correspondente ao nó  $q$  com  $\Theta$  unidades de tempo ao receber uma nova informação sobre  $q$ . Entretanto, se  $\Theta$  expira,  $p$  considera  $q$  suspeito de falha. Para o cálculo do valor de  $\Theta$  é necessário considerar o tempo de transmissão entre caminhos mais longos entre dois nós. Por esta razão, o valor de  $\Theta$  foi fixado em  $2s$  em nossos testes. Observe que este valor precisa ser maior que  $\Delta$ , mas o menor possível afim de reduzir o tempo de detecção de falhas. Entretanto, no início da execução, os temporizadores de um nó  $i$  precisam ser inicializados com  $\Theta_{init}$ , cujo valor é calculado com base na previsão do tempo máximo para a recepção do primeiro *heartbeat* do nó mais distante de  $i$ . Consequentemente,  $\Theta_{init}$  diminui com a densidade da área de cobertura  $d$  da rede. Baseado nas equações apresentadas no artigo dos autores, o valor de  $\Theta_{init}$  varia entre  $16s$  e  $5s$  nos nossos testes de avaliação de desempenho. Mais detalhes de como calcular estes valores se encontram no artigo dos autores.

**Detector de falhas assíncrono.** Em relação à implementação de nosso detector, se os nós enviarem continuamente mensagens QUERY por difusão a seus vizinhos, a rede ficará sobrecarregada. Para evitar tal problema, incluímos um intervalo de tempo de  $\Delta$  unidades de tempo entre as linhas 7 and 8 do Algoritmo 1. Tal qual na implementação de Friedman e Tcharny, fixamos  $\Delta$  a  $1s$ . Entretanto, ao adicionar este intervalo de espera, um nó pode acabar por receber mais do que  $d - f$  respostas, que serão então incluídas no conjunto *rec\_from* deste nó (linha 8), o que reduzirá a quantidade de suspeitas falsas. Vale ressaltar que tal otimização não compromete a corretude do algoritmo.

### 5.1. Avaliação da Detecção de Falhas

Para avaliar a propriedade de *completude* de ambos os detectores, medimos o impacto da variação da densidade  $d$  da rede nos respectivos tempos de detecção de falha dos dois detectores (vide Figura 1). O *tempo de detecção de falha* consiste no intervalo entre o instante em que a falha aconteceu e o instante em que ela é permanentemente detectada por todos os processos corretos. Cinco falhas foram uniformemente injectadas durante a duração de cada teste. A densidade  $d$  varia entre 7 e  $N/2$  nós. Para cada densidade, o tempo *médio*, *máximo* e *mínimo* de detecção foram medidos.

Em ambos os detectores, a propagação das mensagens é consideravelmente rápida



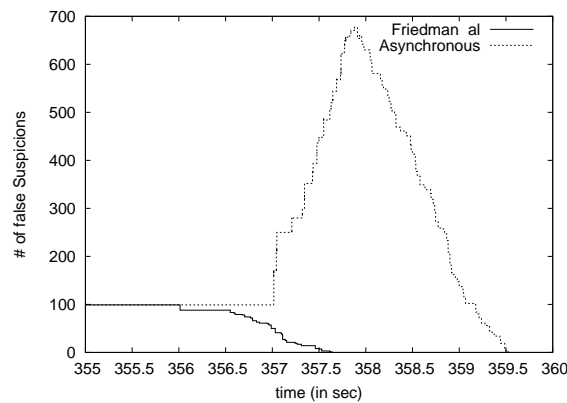
**Figura 1. Tempo de Detecção de Falha X Densidade da Rede**

pois o diâmetro da rede é relativamente pequeno. No caso do detector de falhas de Friedman e Tcharny, o tempo médio de detecção de falha se encontra sempre entre o mínimo de  $\Theta - \Delta$  e o máximo de  $\Theta$ , independentemente de  $d$  pois a detecção de falhas é feita com base nos valores dos vetores e temporizadores. Estes valores de mínimo e máximo podem ser facilmente justificados. Se o nó  $q$  falha logo depois que o nó  $p$  inicializou o temporizador referente a  $q$  com  $\Theta$ ,  $p$  detectará a falha de  $p$  após  $\Theta$  unidades de tempo; se  $q$  falhar justo antes de emitir a mensagem de *heartbeat*, i.e. após  $\Delta$  unidades de tempo,  $p$  detectará sua falha após  $\Theta - \Delta$  unidades de tempo. Entretanto, no caso de nosso detector, o tempo de detecção de falhas diminui com a densidade  $d$  pois informações sobre a detecção de falhas são incluídas nas mensagens QUERY que se propagam mais rapidamente na rede quando a densidade aumenta. Para valores de  $d$  superiores a 22, o tempo de detecção de falhas é uniforme e equivalente em média a  $\Delta + \delta$ . O tempo máximo de detecção de uma falha caracteriza o tempo necessário para que todos os nós possam detectar a falha (completude forte). Comparado com o detector de Friedman, este tempo é menor e homogêneo para o nosso detector devido à propagação de informações de falhas em mensagens de QUERY.

## 5.2. Impacto da Mobilidade

Avaliamos também a propriedade de *exatidão* quando um nó  $p_m$ , localizado numa das extremidades da rede, move-se por volta de 500m a uma velocidade de 2m/s. O nó começa a se mover no instante 100s. Ele possui originalmente 7 vizinhos e cada um destes possui  $d - f + 1$  vizinhos. Esta restrição é necessária afim de garantir que ao menos  $d - f$  vizinhos responderão ao QUERY desses vizinhos após a movimentação de  $p_m$ . Consideramos também que durante seu movimento,  $p_m$  não interage com os outros nós (é como se ele atravessasse uma área de instabilidade aonde nenhuma comunicação é possível). A densidade  $d$  da rede é igual a 7 e não há falhas.

A figura 2 mostra o número total de suspeitas falsas no intervalo de tempo justo antes e depois que o nó  $p_m$  cessa de se movimentar no instante 356s. Observamos que os  $N - 1$  outros nós suspeitam falsamente  $p_m$  antes deste instante para ambos os detectores. Entretanto, após este instante, essas suspeitas começam a ser corrigidas. No caso do detector de Friedman e Tcharny, não há mais suspeitas falsas depois de 1.5s. No caso do nosso detector, elas começam também a serem corrigidas pois  $p_m$  gera um *mistake* que é propagado pela rede. Por outro lado, o nó  $p_m$  começa também a suspeitar seus vizinhos antigos e conseqüentemente envia estas suspeitas na sua próxima QUERY. Esta informação se propagará pela rede o que explica que o número total de suspeitas falsas



**Figura 2. Número Total de Suspeitas Falsas**

aumenta entre os instantes 375s e 358s. Porém, neste instante, os 7 vizinhos antigos de  $p_m$  também recebem a informação sobre suas suspeitas. Estes geram então os *mistakes* correspondentes e os enviam pela rede nas suas próximas QUERY, que serão disseminadas pela rede. Todas as suspeitas falsas serão corrigidas por todos os nós no instante 359.5s.

## 6. Trabalhos Relacionados

Analogamente ao nosso enfoque, encontramos na literatura alguns detectores de falhas não-confiáveis, cuja implementação é extensível e não considera um grafo de comunicação completo. No FD apresentado por Larrea *et al.* [Larrea et al. 2000], os nós estão organizados em um anel lógico. O número de mensagens é então linear, mas o tempo para a propagação de informação sobre as falhas é bastante alto. Em [Gupta et al. 2001], Gupta *et al.* propõem um algoritmo para detecção de falhas onde cada processo escolhe aleatoriamente alguns outros afim de monitorar sua vivacidade. Entretanto, na prática, a opção por escolha aleatória torna difícil a definição de valores para os temporizadores utilizados. Em [Bertier et al. 2003], os autores introduzem um FD extensível e hierárquico para grades computacionais. Porém, a configuração inicial da rede é conhecida por todos os nós. Vale ressaltar que nenhum destes trabalhos suporta mobilidade dos nós.

Algumas implementações de FDs são adequadas para redes MANETs. Entretanto, todas elas são baseadas no uso de temporizadores. No algoritmo de Friedman and Tcharny [Friedman and Tcharny 2005], descrito na seção 5, os autores assumem que o número de nós da rede é conhecido e que falhas devidas à omissão de mensagens podem ocorrer. Em [Tai et al. 2004], uma arquitetura baseada em *clusters* para redes MANETs é proposta afim de oferecer um serviço de detecção de falhas que tolera perda de mensagens e falhas de nós por parada. Sridhar apresenta em [Sridhar 2006] uma implementação hierárquica de FDs que possui dois níveis independentes: um local, que fornece a lista de nós vizinhos suspeitos de falha e um externo, que detecta a mobilidade dos nós. Contrariamente ao nosso FD que satisfaz a classe  $\diamond S$ , o detector proposto por Sridhar satisfaz a classe de *detectores perfeito após um tempo* ( $\diamond P$ ), porém para detecção apenas de falhas na vizinhança de cada nó.

Greve *et al.* em [Greve and Tixeuil 2007] oferecem uma solução para o consenso tolerante a falhas em redes desconhecidas e dinâmicas. Tal consenso, de nome FT-CUP, irá exigir do sistema um maior grau de conectividade entre os participantes, mas poderá ser resolvido com requisitos mínimos de sincronia ( $\diamond S$ ). Nosso detector de falhas assíncrono poderá ser utilizado na implementação do FT-CUP sobre redes MANET.

## 7. Conclusão

Apresentamos neste trabalho uma nova implementação de detector de falhas não-confiáveis para redes dinâmicas como as redes MANETs, cujo número de nós não é conhecido e a conectividade da rede não é completa. O algoritmo proposto é assíncrono e não depende de temporizadores para detectar falhas. Ele também implementa detectores de falhas da classe  $\diamond S$  quando as propriedades comportamentais de receptividade ( $\mathcal{RP}$ ,  $Mobi\mathcal{RP}$ ), inclusão ( $\mathcal{MP}$ ) e mobilidade ( $Mobi\mathcal{P}$ ) são satisfeitas pelo sistema subjacente. Resultados de simulação validaram a eficácia do novo algoritmo.

## Referências

- OMNet++ *Discret Event Simulation System*. <http://www.omnetpp.org>.
- Bertier, M., Marin, O., and Sens, P. (2003). Performance analysis of a hierarchical failure detector. In *Proc. of the Int. Conf. on Dependable Systems and Networks*, San Francisco, CA, USA.
- Chandra, T. and Toueg, S. (1996). Unreliable failure detectors for reliable distributed systems. *Journal of the ACM*, 43(2):225–267.
- Fernández, A., Jiménez, E., and Arévalo, S. (2006). Minimal system conditions to implement unreliable failure detectors. In *Proc. of the 12th Int. Symposium Pacific Rim Dependable Computing*, pages 63–72. IEEE Computer Society.
- Fischer, M. J., Lynch, N. A., and Paterson, M. S. (1985). Impossibility of distributed consensus with one faulty process. *Journal of the ACM*, 32(2):374–382.
- Friedman, R. and Tcharny, G. (2005). Evaluating failure detection in mobile ad-hoc networks. *Int. Journal of Wireless and Mobile Computing*, 1(8).
- Greve, F. and Tixeuil, S. (2007). Knowledge connectivity vs. synchrony requirements for fault-tolerant agreement in unknown networks. In *Proc. of the Int. Conf. on Dependable Systems and Networks*, pages 82–91, Edinburgh, UK.
- Gupta, I., Chandra, T. D., and Goldszmidt, G. S. (2001). On scalable and efficient distributed failure detectors. In *Proc. of the twentieth annual ACM symposium on Principles of distributed computing*, pages 170–179. ACM Press.
- Larrea, M., Fernández, A., and Arévalo, S. (2000). Optimal implementation of the weakest failure detector for solving consensus. In *Proc. of the 19th Annual ACM Symposium on Principles of Distributed Computing*, pages 334–334, NY. ACM Press.
- Mostefaoui, A., Mourgaya, E., and Raynal, M. (2003). Asynchronous implementation of failure detectors. In *Proc. of Int. Conf. on Dependable Systems and Networks*.
- Sens, P., Arantes, L., Bouillaguet, M., Simon, V., and Greve, F. (2007). Asynchronous implementation of failure detectors with partial connectivity and unknown participants. Technical Report RR6088, INRIA - France, <http://hal.inria.fr/inria-00122517/fr/>.
- Sotoma, I. and Madeira, E. (2001). Adaptation - algorithms to adaptative fault monitoring and their implementation on corba. In *Proc. of the IEEE 3rd Int. Symposium on Distributed Objects and Applications*, pages 219–228.
- Sridhar, N. (2006). Decentralized local failure detection in dynamic distributed systems. *The 25th IEEE Symposium on Reliable Distributed Systems*, 0:143–154.
- Tai, A., Tso, K., and Sanders, W. (2004). Cluster-based failure detection service for large-scale ad hoc wireless network applications. In *Proc. of the Int. Conf. on Dependable Systems and Networks*, pages 805–814, New York City, USA.
- Tang, T. and Gerla, M. (2001). Mac reliable broadcast in ad hoc networks. In *Proc. of the IEEE Military Communications Conference*, pages 1008–1013.
- Yellen, J. and Gross, J. L. (1998). *Graph Theory & Its Applications*. CRC Press.